

一种恶意域名检测技术的研究与实现

国家计算机网络应急技术处理协调中心江苏分中心 蔡冰 马旻 王林汝

摘要: 研究了一种基于域名解析数据的恶意域名检测关键技术, 针对传统恶意域名检测系统的不足, 将“域名解析时间突发性”作为一项重要指标引入至系统的检测模式中, 并结合大数据分析技术, 实现了一套恶意域名检测的原型系统。通过使用真实域名解析数据进行一系列测试, 验证了算法的可用性与高效性。

关键词: 域名解析; 恶意域名; 大数据分析

0 前言

我国互联网市场规模和用户体量正处在一个高速增长阶段, 伴随着信息化水平与互联网技术的迅猛发展, 来自网络安全方面的威胁也层出不穷, 特别是僵尸、木马、蠕虫等恶意程序给我们带来了极大的网络安全威胁, 网络环境治理工作面临着日益严峻的挑战。《江苏省互联网网络安全报告》中指出, 2014年江苏省内被境内外主机通过僵尸木马控制的事件有189 917 016起, 涉及受控IP地址661 639个, 黑客通过僵尸木马等恶意程序窃取个人隐私、实施钓鱼欺骗、控制个人终端, 严重危害公共互联网安全。

DNS(域名系统)作为互联网重要的基础设施, 它主要负责完成IP地址与域名之间的相互转换。然而, 由于DNS的开放性, 黑客常会构造众多恶意域名用于实施网络攻击或肉鸡控制^[1], 而这些攻击、控制记录都会存于DNS解析数据中, 通过分析挖掘海量DNS解析数据, 从中发现其中的恶意域名是近期网络安全的热点, 也是本文的主要研究内容。

1 DNS解析数据方法的引入

相对于传统恶意域名检测使用的恶意程序逆向、DPI(深度报文检测)技术, 利用DNS解析数据方法具有独特的优势^[2],

国内外科研机构均开展了一系列从DNS解析数据中挖掘恶意域名的探索^[3-5]。相对于传统的程序逆向、DPI等基于内容的检测技术, 基于DNS数据的恶意域名检测技术具有部署简单、覆盖范围广、匹配精确等独特优势。

本文在国内外学者相关研究的基础上, 引入“域名访问活跃度分布特征”这一评判指标, 综合考虑域名长度、域名字符特征等因素, 提出一套有效的恶意域名检测方法; 结合大数据分析技术将理论化的检测方法进行了实现, 设计实现了基于DNS数据的恶意域名检测关键技术原型系统; 以某省某年5月20日1.7亿条真实DNS解析记录为原始数据, 验证了恶意域名检测关键技术的正确性与有效性。

2 恶意域名检测原型系统设计

2.1 系统架构

本文基于恶意域名检测的关键技术构建了一套原型系统, 系统主要分为两大模块: 数据采集模块和恶意域名检测模块。

1) 数据采集模块。系统在设计与验证过程中使用的DNS数据均来自于某省运营商的全量DNS镜像数据, 通过架设DNS采集服务器、镜像交换机以及光电转换等设备实现DNS请求解析数据的采集汇聚, 最后将数据回传至本地大数据中心。数据采集模块系统架构如图1所示。

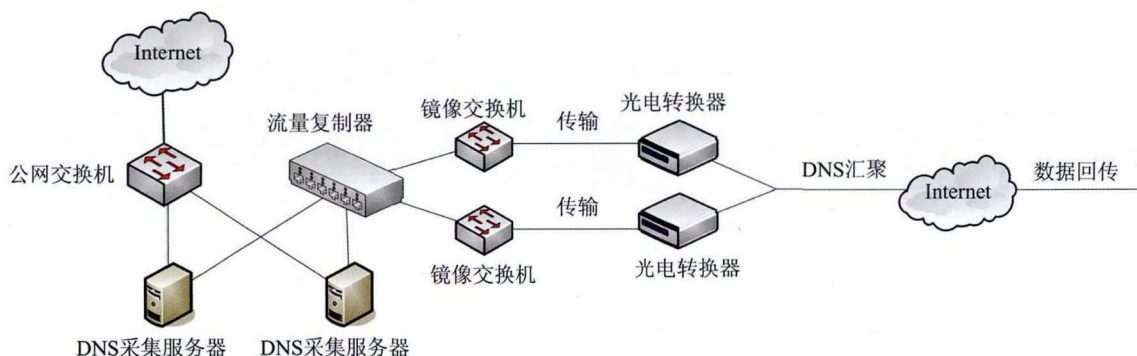


图1 数据采集模块结构

2) 恶意域名检测模块。本地大数据中心接收到回传来的清洗、入库，再根据系统设计的检测原理进行运算，生成经过DNS数据后，按照DNS协议字段对海量DNS解析数据进行解析、判别的恶意域名结果。恶意域名检测模块结构如图2所示。

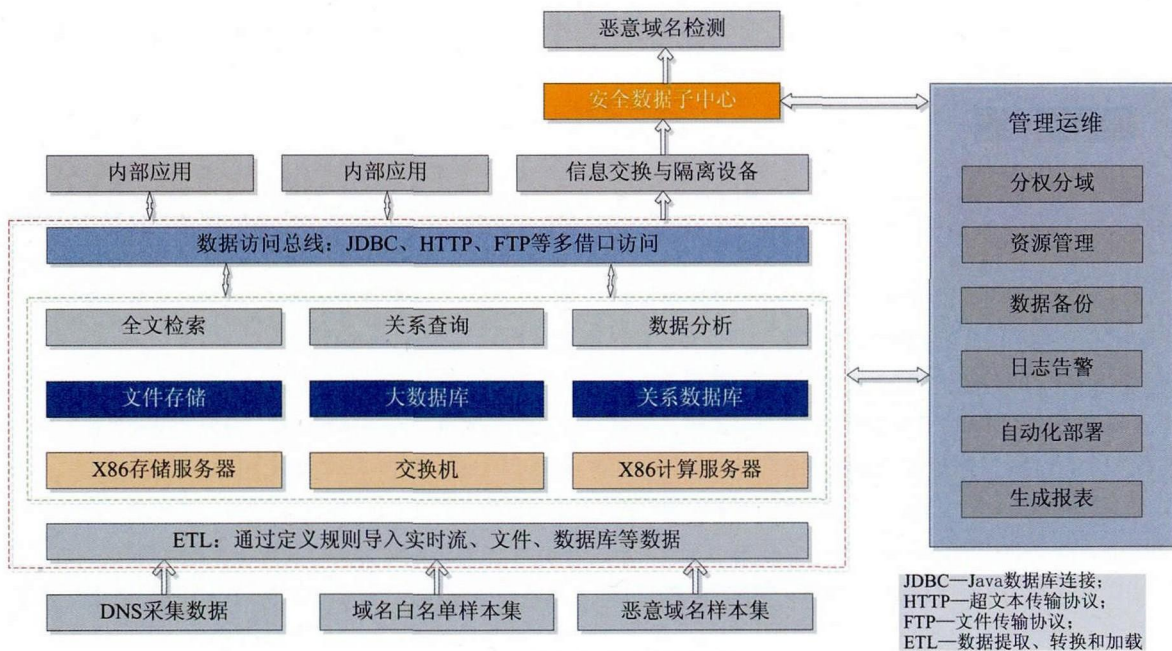


图2 恶意域名检测模块结构

2.2 检测模式

通过长期对大量恶意域名样本进行特征分析，本文提出了判别恶意域名三个重要模式：

模式一：域名字符长度大于 x 个字符。为了便于用户的访问，正常域名一般不会过长而且具有较为明确的含义；但恶意域名一般不会被用户主动访问（即通过浏览器输入网站地址的方式访问），其为了避免与合法域名产生冲突，通常会由黑客编制特定算法生成。我们经过对大量恶意域名进行长度特征统计，将系统的第一个判别模式设置为长度大于 x 的域名。

模式二：域名由数字和字母混杂无序组成。通过长期对域

名样本特征统计发现：正常域名大部分由纯字母构成，即使同时包括字母和数字字符，其组织规则也比较规整，数字和字母通常分开排列，且具有较明确的含义，如163.com、zhibo8.com等；但恶意域名具有生成随机性，很大一部分恶意域名会出现字符和数字混杂的情况，比如已经被证实为恶意域名的vipdn123.blackapplehost.com、exkn0md6fh.qsdgi.co、spykit.110mb.com等。

模式三：域名解析具有时间上的突发性。域名在短时间内被集中访问，而在其他时间内被请求解析次数极少，即我们认为该域名的解析具有时间上的突发性。出于隐藏自身的考虑，大部分恶意域名通常存活时间只有几分钟到几小时，被请求解

析次数分布非常不均匀。恶意域名被黑客控制者所控制大部分时间是处于未激活状态,其解析数量几乎为0,只有当黑客发起攻击指令,“肉鸡”才会产生大量恶意域名的DNS解析请求。

根据模式三的理论,我们建立了相应的数学模型。一般情况下恶意域名的活跃时间约为半小时,也即半小时后该域名通常就被弃用。假设当前待分析域名为 y ,设置10 min为一个时间单位对该域名的活跃度分布进行统计,一天分为144个时间单位,即从 T_1 到 T_{144} ,用 $C(y, T_i)$ 表示 T_i 时间段内域名 y 被请求解析的次数,在计算 $C(y, T_i)$ 时考虑了 T_{i-1} , T_i , T_{i+1} 三个时间单位的解析次数,用 $\sum C(y, T_i)$ 表示域名 y 一天内总共被请求解析的次数。最后用 $D(y)$ 来表示域名 y 在短时间内的活跃程度。模式

三所对应的数学公式如下:

$$D(y) = \max(D(y, T_i)) = \max(\text{sum}(C(y, T_{i-1}) + C(y, T_i) + C(y, T_{i+1})) / \sum_{k=1}^{144} C(y, T_k), i \in [1, 144]).$$

根据定义可知,当 $D(y)$ 取值越大表明域名 y 在短时间内活跃程度越高,成为恶意域名的几率也就越大。

2.3 检测流程

根据2.2节中3项检测模式,我们设计并实现了基于DNS数据的恶意域名检测系统,系统工作流程见图3。

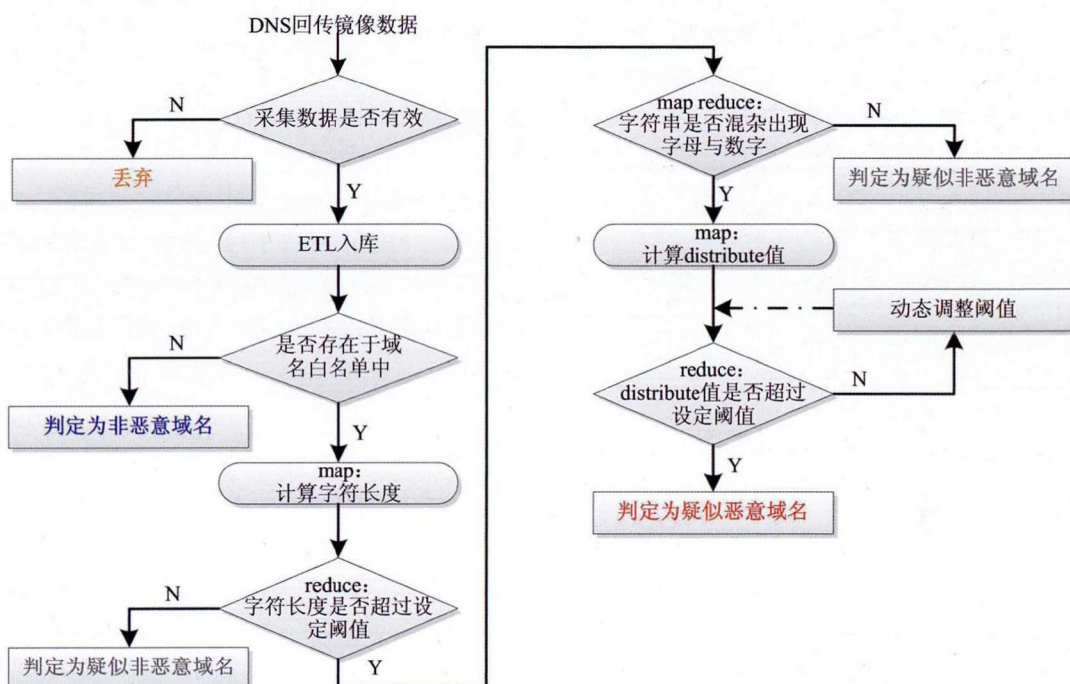


图3 恶意域名检测工作流程

1) 对采集的运营商DNS数据进行有效性判断,剔除格式错误或缺项记录,格式无误的记录ETL入库至大数据分析平台;

2) 由于全量DNS数据规模庞大,首先根据收集的域名白名单样本集对DNS数据进行过滤,去掉对已知合法域名的请求解析记录,减小后续运算数据量;

3) 依据2.2节中模式一进行恶意域名的第一步筛选,得到长度超过 x 字符的域名集合;

4) 依据2.2节中模式二进行恶意域名的第二步筛选,通过正则表达式匹配的方式,找出字符串中混杂出现字母和数字的域名集合;

5) 最后依据2.2节中模式三进行恶意域名的最后一步筛选,生成最终的恶意域名。

3 检测结果验证与分析

3.1 样本数据集

1) 恶意域名样本共计5 000条,主要用于与系统分析结果相对比,验证系统的有效性。该样本主要有三个来源:第一部分是从专业网站(如Malware domain list^[6]、Quttera)下载的恶意域名库;第二部分是从搜集到的流行僵尸程序样本,如Conficker, Strom和Kraken等生成的恶意域名;第三部分来自知名安全厂商提供的恶意域名列表。

2) 白名单样本共计250 000条,主要用于提高系统检测性能。该样本主要有两个来源,一是采用了Alex排名前10 000的域名以及它们的子域名,二是来自知名安全厂商提供的已知合

法域名库。

3) DNS 解析记录数据 1.7 亿条,我们以某省某年 5 月 20 日真实 DNS 解析记录为原始数据作为本系统分析的数据源,并预先确认其中存有 1 100 个恶意域名,借此统计该系统检测的漏报率。

实验使用的大数据分析集群的硬件配置为: 15 台框架式物理服务器,单台服务器配置为 2 颗 AMD 6320 单 CPU8 核心,主频 ≥ 2.8 GHz, 48 GB 内存, 8 块 1 TB 的 SATA 硬盘。

3.2 系统测试结果

3.2.1 测试一: 仅使用模式一和模式二进行筛选

测试一仅考虑域名长度和域名字符构成因素,而不考虑域名解析突发性的特征。拟定的恶意域名字符构成正则表达式为: $[0-9]^*[a-zA-Z]^*[0-9]^*$ 或 $[a-zA-Z]^*[0-9]^*[a-zA-Z]^*$, 其中 “*” 表示匹配前面的子表达式任意次, “.” 表示匹配除 “\n” 之外的任何单个字符。测试一的实验结果如表 1 所示。

表 1 测试一结果

域名字符 长度阈值	准确率 / %	误报率 / %	漏报率 / %
8	26.2	73.8	4.7
10	27.6	72.4	7.2
12	31.3	68.7	12.7
14	30.4	69.6	19.9
16	30.5	69.5	27.6

3.2.2 测试二: 仅使用模式三进行筛选

参照测试一,仅采用模式三进行恶意域名的筛选。测试过程中,选取了几组不同的 $D(y)$ 阈值作为恶意域名判别过滤条件,并分别统计了准确率、误报率和错误率。不同 $D(y)$ 阈值下的测试结果如表 2 所示。

表 2 测试二结果

$D(y)$ 阈值	准确率 / %	误报率 / %	漏报率 / %	处理时间 / h
0.8	80.1	19.9	19.1	≈ 17.5
0.85	83.5	16.5	23.3	
0.9	87.4	12.6	27.9	
0.95	88.1	11.9	28.2	

3.2.3 测试三: 综合使用三个模式的进行筛选

首先根据域名白名单对测试样本(假设为 B)进行过滤得到 B1,接着对 B1 按照测试一的方式进行第一轮筛选得到 B2,再次对 B2 按照测试二的方式计算其中各域名的 $D(y)$ 值,根据设定的 $D(y)$ 阈值筛选得到最终结果集 B3。表 3 给出了当设置域名长度阈值为 12、 $D(y)$ 阈值为 0.9 时的实验结果。

表 3 测试三结果

域名特征	准确率 / %	误报率 / %	漏报率 / %	处理时间 / h
域名长度超过 12 字符	87	13	30.3	≈ 2
$D(y) > 0.9$				

3.3 测试结论

通过上述三组测试我们得出结论如下:

1) 测试一仅通过 DNS 静态特征(检测模式一与模式二)进行恶意域名的检测,测试结果误报率过高,算法基本不具备可用性。然而,静态特征适合作为粗粒度的检测条件,可用于快速从测试样本中提出疑似度较高的恶意域名。

2) 测试二引入域名的突发性特征检测后(检测模式三),系统准确率明显提升,误报率较低,但由于部分恶意域名在全天的活跃度整体不高且较为离散,导致仅具备模式三的检测漏报率较高。

3) 从准确率上看测试三与测试二几乎相当,但由于增添了静态特征匹配与白名单机制,系统处理性能与可用性均得到了大幅提升。

4 结论

本文在提出三项恶意域名检测模式的基础上,结合大数据分析技术,构建了一种基于 DNS 数据的恶意域名检测关键技术原型系统。为了验证检测技术的有效性,利用真实的 DNS 解析数据对系统进行了功能测试,测试结果表明经过优化后恶意域名检测性能得到了较大幅度的提升,检出率可达到 85% 以上。

参考文献:

- [1] OLLMANN G. Botnet communication topologies[EB/OL]. [2015-07-02]. <http://www.docin.com/p-909121310.html>.
- [2] PERDISCI R, CORONA I, DAGON D, et al. Detecting malicious flux service networks through passive analysis of recursive DNS traces[C] // Proceedings of 25th Annual Computer Society Security Applications Conference(ACSAC), Honolulu, HI, USA 2009: 311-320.
- [3] PASSERINI E, PALEARI R, MARTIGNONI L. Detecting and monitoring fast-flux service networks[C] // Proceedings of the 5th International Conference on Detection of Intrusions and Malware, and Vulnerability Assessment (DIMVA). Paris France, 2008: 186-206.
- [4] SANDEEP Y, ASHWATH K.K. REDDY. Detecting algorithmically generated malicious domain names[EB/OL]. [2015-07-02]. <http://www.docin.com/p-726881165.html>.
- [5] Ricardo, Jose Carlos. Identifying botnet using anomaly detection techniques applied to DNS traffic. [EB/OL]. [2015-07-02]. <http://www.docin.com/p-193846443.html>.
- [6] MALWARE DOMAIN LIST. Malware domain list[EB/OL]. [2015-07-02]. <http://www.malwaredomainlist.com/mdl.php>.

◆